

مدل سازی عددی ارتعاشات زمین در عملیات تراکم دینامیکی بر خاک های ماسه ای خشک

مجید پور جنابی^۱ و امیر حمیدی^{۲*}

اطلاعات مقاله	چکیده
واژگان کلیدی: تراکم دینامیکی، مدل سازی عددی، ABAQUS سرعت ذرات، ترانشه حائل.	<p>تراکم دینامیکی روشی مفید برای بهسازی بهویژه در خاک های دانه ای است. در این روش، وزنه سنگین از ارتفاع مشخص سقوط کرده و باعث متراکم شدن خاک می گردد. عامل موثر در تراکم خاک انتشار امواج کالبدی و برشی است که موجب تغییر مکان ذرات و افزایش تراکم می شود. این پدیده، در صورت مجاورت سازه ها می تواند موجب بروز ترک و شکست در پی و گسیختگی احتمالی گردد. بدین منظور رعایت حداقل فاصله ایمن از سازه های مجاور جهت اجرای عملیات تراکم دینامیکی ضروری است. در تحقیق حاضر از مدل سازی عددی تراکم دینامیکی خاک های ماسه ای خشک توسط نرم افزار ABAQUS استفاده شده است. نتایج حاصل از مدل سازی عددی از جمله تغییرات سرعت حداکثر ذرات با فاصله از مرکز کوبیش با مقادیر سرعت اندازه گیری شده در سایت مقایسه شده است. همچنین اثرات حفر ترانشه جهت ایزوله نمودن امواج ایجاد شده در پدیده تراکم دینامیکی بر دامنه تغییرات سرعت ذرات در فواصل مختلف مورد بررسی فرار گرفته است. نتایج نشان می دهد که در محدوده پارامترهای مورد مطالعه، حفر این ترانشه ها تاثیر عمده ای بر روند کاهش دامنه سرعت ذرات نخواهد گذاشت.</p>

عوامل گوناگونی در بهسازی خاک به این روش دخیل هستند، از این جمله می توان به وزن و ارتفاع سقوط کوبه، نوع خاک، فواصل کوبش و سطح آب زیرزمینی اشاره نمود.

بعضی از محققین از روش المان محدود برای مدل سازی عددی پدیده تراکم دینامیکی در خاک های ماسه ای استفاده نموده اند [۱-۶]. تعدادی دیگر از محققین نیز به بررسی صحرایی عملیات تراکم دینامیکی و نتایج حاصل از آن پرداخته اند [۱۵-۱۶]. مرور متنون فنی نشان می دهد که استفاده از مدل سازی فیزیکی برای عملیات تراکم

۱- مقدمه

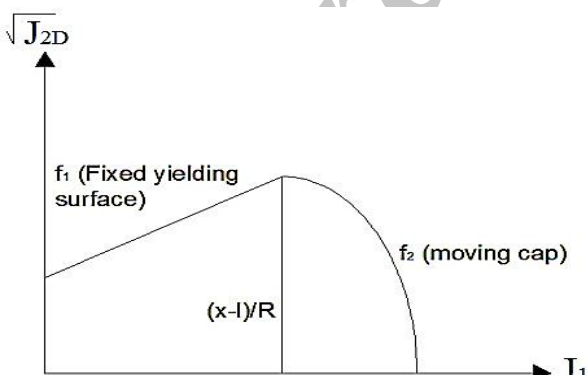
تراکم دینامیکی روشی مناسب برای بهسازی خاک های دانه ای است که در سال ۱۹۷۵ توسط منارد معرفی شد. اساس این روش بر سقوط وزنه سنگین ۵ تا ۴۰ تن از ارتفاع ۱۵ تا ۳۰ متر بروی سطح خاک سست است که تراکم و مقاومت برشی خاک را به حد مطلوب و مورد نیاز می رساند.

* پست الکترونیک نویسنده مسئول: hamidi@knu.ac.ir
 ۱. دانشجویی کارشناسی ارشد مهندسی ژئوتکنیک، دانشگاه خوارزمی، تهران
 ۲. دانشیار، گروه مهندسی عمران، دانشگاه خوارزمی، تهران

مقایسه‌ای بین نتایج نرم‌افزار و اندازه‌گیری‌های فیزیکی گزارش شده در مقاله هوانگ و تو [۱۰] انجام گرفته است. وود [۲۴] و وود و همکاران [۲۵] راهکار استفاده از ترانشهای حائل را جهت کاهش دامنه سرعت ذرات خاک در پروسه ایزولاسیون فعال و غیرفعال پی ماشین‌آلات پیشنهاد و تاثیر آن‌ها در عدم آسیب به سازه‌های مجاور را مورد بررسی قرار داد. بدین ترتیب در تحقیق حاضر نیز راهکار فوق و تاثیر آن بر کاهش دامنه سرعت ذرات در پروسه عملیات تراکم دینامیکی بهصورت عددی مدل‌سازی و مورد بررسی قرار گرفته است.

۲- مدل رفتاری

مدل رفتاری استفاده شده در مدل‌سازی عددی تراکم دینامیکی، مدل کلاهک‌دار^۱ است. این مدل دارای دو ضابطه متفاوت برای نشان دادن سطح تسلیم می‌باشد. براساس شکل ۱، ضابطه اول یک رابطه خطی براساس معیار گسیختگی دراکر-پراگر^۲ طبق فرمول (۱) و ضابطه دوم، کلاهک^۳ تعریف شده براساس رابطه (۲) بهمنظور بیان امکان تسلیم تحت تنش مؤثر ایزوتروپ می‌باشد.



شکل ۱- سطح تسلیم مدل کلاهک دار

دینامیکی نیز مورد بررسی قرار گرفته است [۱۶]. به علاوه از روابط تحلیلی و مدل‌سازی فرضی توسط سیستم جرم و فنر نیز برای بررسی پارامترهای متفاوت این روش استفاده و روابطی ارائه شده است [۲۰-۲۷].

یکی از عوامل محدودکننده در اجرای عملیات تراکم دینامیکی، سرعت بوجود آمده در ذرات خاک می‌باشد. در صورتی که سرعت ذرات خاک برای سازه‌های مجاور از آستانه خاصی بیشتر شود باعث آسیب و یا کاهش کارایی می‌گردد. وزارت معادن آمریکا با درنظر گرفتن فرکанс ارتعاشات ایجاد شده، متناسب با نوع ساختمان معیاری را جهت تعیین سرعت مجاز تعیین نموده است [۲۱]. در تحقیقی دیگر، معیار سرعت مجاز در تراز پی ساختمان‌ها با درنظر گرفتن میزان حساسیت و درجه خسارات نیز ارائه شده است [۲۲]. همچنین لوکاس حداکثر سرعت مجاز ذرات در سایتها مجاور را ۷/۶ سانتی‌متر بر ثانیه اعلام نموده است که معیاری مناسب برای پژوههای صنعتی می‌باشد [۲۳].

هوانگ و تو [۱۰] با قراردادن سنسورهای ثبت سرعت در فواصل متفاوت از مرکز کوبیش، سرعت ایجاد شده در زمین در اثر برخورد وزنه با خاک را برای سایتی صنعتی در تایوان که برای بهسازی خاک آن از روش تراکم دینامیکی استفاده می‌شد، ثبت نمودند. با توجه به آن که معیار ارائه شده توسط لوکاس [۲۳] نیز جهت کاربرد در مناطق صنعتی توصیه شده است، در این تحقیق از معیار مذکور جهت ارزیابی سرعت مجاز ذرات حین عملیات تراکم دینامیکی استفاده شده است. عملیات تراکم دینامیکی در خاک‌های ماسه‌ای خشک، با استفاده از روش المان محدود توسط نرم‌افزار ABAQUS مدل‌سازی گردیده است. تغییرات سرعت ذرات با فاصله از مرکز کوبیش بررسی شده و تأکید عمده بر ملاحظات سرعت مجاز جهت جلوگیری از بروز خسارت در سازه‌های مجاور بوده است. جهت ارزیابی نتایج مدل‌سازی عددی،

^۱Cap Plasticity model

^۲Drucker-Prager

^۳Cap

پارامترهای جدول ۳ از صحبت‌سنگی نتایج برمبنای سرعت حداکثر تعیین شده است [۲۶].

جدول ۱- پارامترهای فیزیکی خاک

مقادیر	پارامتر
۲۸ درجه	زاویه اصطکاک داخلی
۰/۹۸ کیلوپاسکال	چسبندگی
۱۵/۷۹ کیلونیوتون بر مترمکعب	دانسیته خاک
۱۰/۷۹ مکاپاسکال	ضریب الاستیسیته
۰/۳	نسبت پاؤسن
۰/۰۱	ضرایبمیرایی η_1 و η_2

جدول ۲- پارامترهای کوبه

مقادیر	پارامتر
۲۵ تن	وزن
۲۰ متر	ارتفاع سقوط
۴/۵ مترمربع	سطح مقطع کوبه
یک عدد در هر نقطه	تعداد ضربات

جدول ۳- پارامترهای سخت‌شوندگی

مقادیر	پارامتر
۱/۱۴۸	R
۰/۵	W
۵×۱۰ ^{-۷} (m/N)	D

شکل ۲ نمای سه‌بعدی مدل تعریف شده در نرم‌افزار را نشان می‌دهد. تحلیل اولیه با آنالیز ثقلی صورت گرفته و پس از آن براساس الگوی نشان داده شده در شکل ۳ اعمال می‌گردد. مقادیر سرعت کوبش در فواصل ۱۰، ۲۰، ۳۰، ۶۰، ۱۰۰ و ۱۶۵ متری از نقاط کوبش سرعت ثبت شده توسط هوانگ و تو [۱۰] مقایسه می‌گردد. میرایی اغلب در محدوده ۲ تا ۵ درصد میرایی بحرانی قرار می‌گیرد. در این تحقیق میرایی ۵ درصد میرایی بحرانی و فرکانس ۱۰ هرتز فرض شده است.

$$f_1 = \sqrt{J_{2D}} - \alpha j_1 - \kappa = 0 \quad (1)$$

$$f_2 = (J_1 - 1)^2 + R^2 J_{2D} - (X - l)^2 = 0 \quad (2)$$

$$l = \frac{X - R \cdot \kappa}{1 + \alpha \cdot R} \quad (3)$$

در این روابط α و κ ثوابت پوش گسیختگی در آگر-پرآگر هستند. X پارامتر سخت‌شوندگی، R ثابت ماده و l مقدار نامتغیر اول تنش (J_1) در محل برخورد دو سطح است. J_{2D} نیز نامتغیر دوم تانسور تنش انحرافی می‌باشد. در مرحله سخت‌شوندگی کلاهک مدل در هر مرحله از ازدیاد تنش، مطابق رابطه ذیل گسترش می‌یابد.

$$X = -\frac{1}{D} \ln \left(1 - \frac{\epsilon_v^p}{W} \right) + X_0 \quad (4)$$

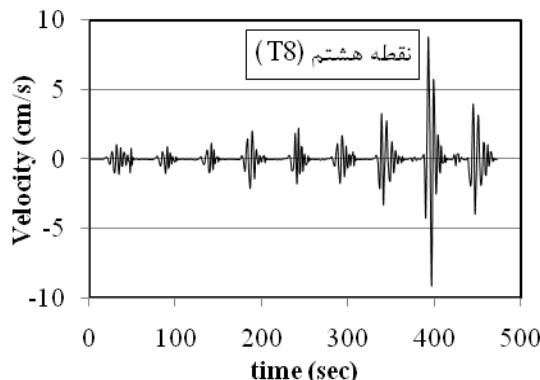
در این رابطه D و W پارامترهای ماده و X_0 تنش اولیه ناشی از تحلیل گرانشی است. مدل مذکور در نرم‌افزار ABAQUS تعریف شده است.

۳- مدل‌سازی عددی

مدل‌سازی سه‌بعدی عملیات تراکم دینامیکی با استفاده از نرم‌افزار ABAQUS انجام شده است. المان‌های هشت‌گرهی جهت پاره‌سازی محدوده مورد بررسی انتخاب شده است. ابعاد محدوده مدل‌سازی براساس آنالیز حساسیت بهمنظور تضمین عدم بازگشت امواج انتخاب گردیده است [۲۶]. شرایط تکیه‌گاهی در مرازهای جانبی به صورت مفصلی و در کف تکیه‌گاه گیردار تعریف شده‌اند. شکل ۲ نمایی از مدل و الگوی تراکم را نشان می‌دهد. کوبش با استفاده از وزنه ۲۵ تنی و ارتفاع سقوط ۲۰ متر انجام شده است (هوانگ و تو [۱۰]). تعداد ضربات در هر نقطه یک عدد می‌باشد. مشخصات خاک و کوبه و پارامترهای مدل کلاهک‌دار در نظر گرفته شده در مدل‌سازی عددی به ترتیب براساس جداول ۱، ۲ و ۳ می‌باشد. پارامترهای جداول ۱ و ۲ از مطالعات هوانگ و تو [۱۰] و

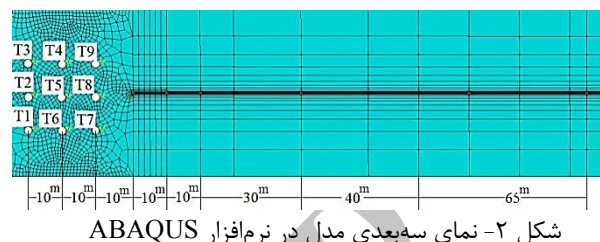
مدل‌سازی ایزوتروپ فرض شده است، بیشینه سرعت، در نزدیک‌ترین فاصله از مرکز کوبش یعنی ضربه هشتم مشاهده می‌شود.

کوبش با انتقال کوبه به ارتفاع ۲۰ متری و سقوط آن با شتاب ثقل ($g=9.81 \text{ m/s}^2$) مدل‌سازی شد. در رویه کوبه که با خاک برخورد می‌نماید، در نرم‌افزار المان حدوداً^۱ با ضریب اصطکاک 0.5 تعریف شده است.

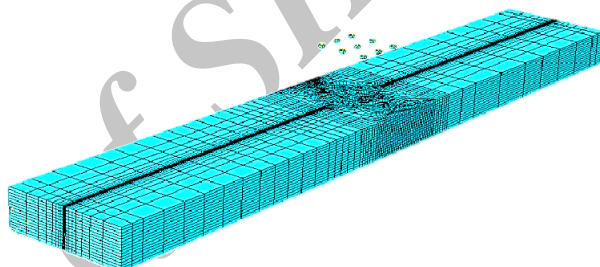


شکل ۴- تغییرات سرعت با زمان در اثر کوبش‌های متعدد در فاصله ۱۰ متری از آخرین نقطه کوبش

شکل ۵ مقایسه سرعت ثبت شده در سایت و سرعت بهدست آمده از آنالیز عددی در فاصله ۱۰ متری از نقطه کوبش را ارائه می‌نماید. همان‌گونه که مشاهده می‌شود مقدار سرعت بیشینه عمودی ثبت شده در سایت با مقدار بهدست آمده از نرم‌افزار، مطابقت قابل قبولی دارد. تغییرات سرعت در سایت در مدت حدود ۱ ثانیه رخ داده و از بین رفته است در حالی که این زمان در آنالیز عددی در حدود ۳ ثانیه بهدست آمده است. این اختلاف را می‌توان به غیرایزوتروپ بودن رفتار واقعی خاک در سایت نسبت به مدل‌سازی عددی آن ارتباط داد. در جهت شعاعی نیز مقدار سرعت مثبت حداکثر به خوبی مدل شده است در حالی که حداکثر منفی در آنالیز عددی مقدار بیشتری بهدست آمده است. سرعت در راستای عمودی و شعاعی بهمیزان قابل توجهی بزرگتر از سرعت در راستای مماسی است. همچنین مقدار بیشینه سرعت در سایت و مدل‌سازی عددی، در جهت عمودی ثبت شده است. با توجه به این‌که در نرم‌افزار، خاک به صورت مصالحی ایزوتروپ مدل شده است، مقادیر بیشینه مثبت و منفی



شکل ۲- نمای سه‌بعدی مدل در نرم‌افزار ABAQUS



شکل ۳- پلان نقاط کوبش و فواصل ثبت سرعت

۴- نتایج آنالیز عددی

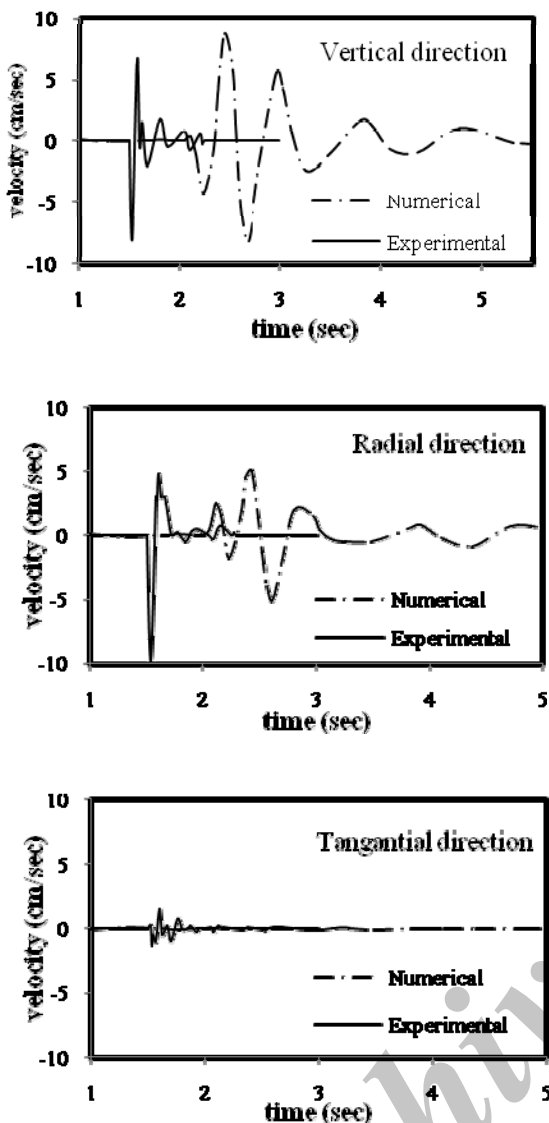
براساس مقادیر ارائه شده توسط هوانگ و تو [۱۰]، سرعت ذرات در سه جهت مماسی^۲ (عمود بر راستای سنسورها)، شعاعی^۳ (در راستای سنسورها) و عمودی^۴ (در راستای Z) ثبت شده است. شکل ۴ سرعت حاصله از مدل‌سازی عددی در فاصله ۱۰ متری از مرکز کوبه را نشان می‌دهد. با توجه به شکل می‌توان دریافت که به علت فاصله زمانی بین ضربات، سرعت به وجود آمده در هر ضربه، جدا از سایر ضربات است. همچنین به دلیل این‌که رفتار خاک در

¹Interface element

²Tangential

³Radial

⁴Vertical



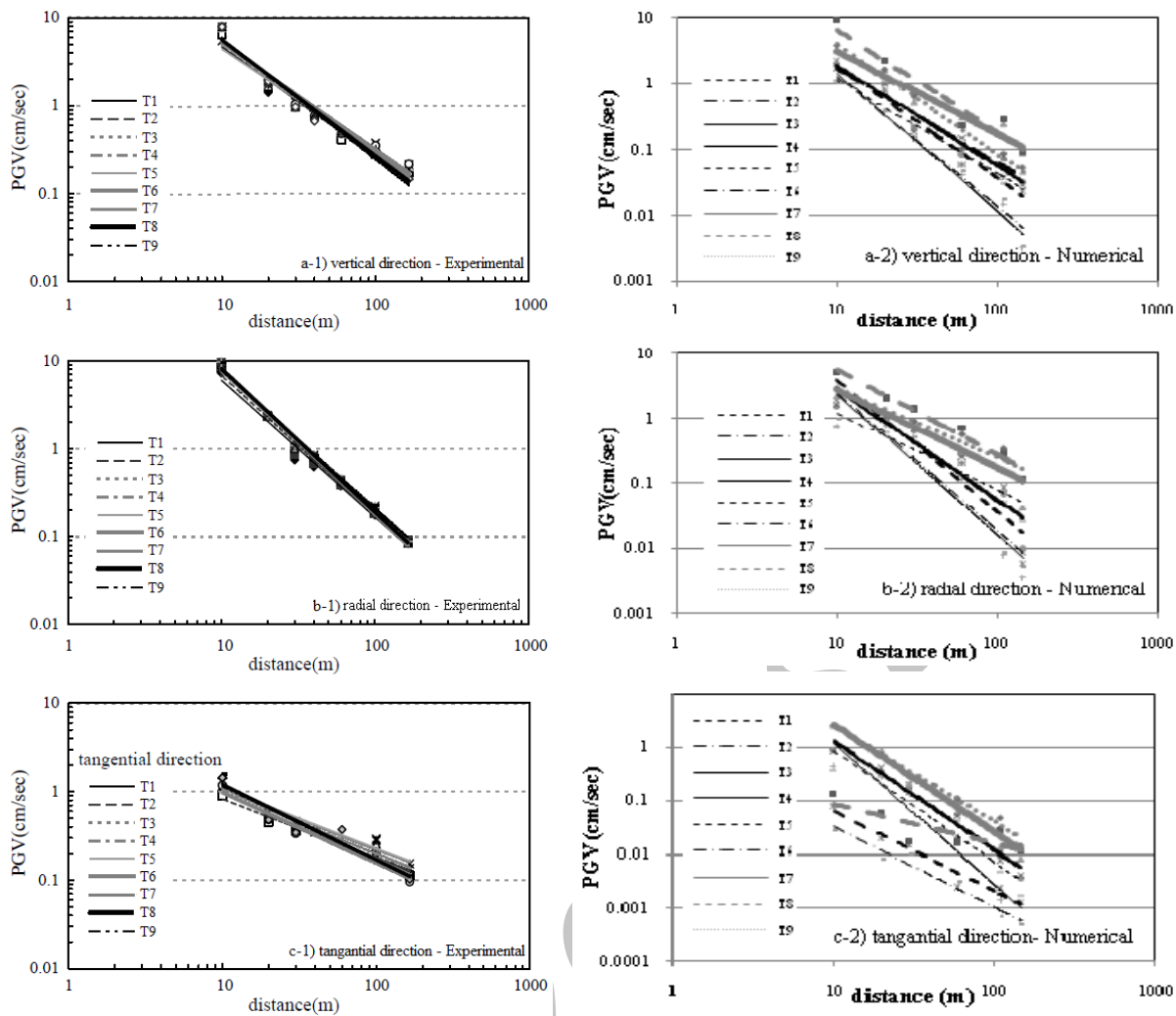
شکل ۵- مقایسه بین سرعت سه جهت در فاصله ۱۰ متری از نقاط کوبش برای کوبش واقعی (هوانگ و تو [۱۰]) و مدل‌سازی عددی در تحقیق حاضر

بررسی نتایج به دست آمده از ابزارگذاری در سایت و مدل‌سازی عددی نشان می‌دهد که بیشینه سرعت ذره که در این سایت رخ داده است نزدیک به ۸ سانتی‌متر بر ثانیه بوده و کمی از حد مجاز آیین‌نامه FHWA یعنی $7/6$ سانتی‌متر بر ثانیه بیشتر است. لذا امکان استفاده از ترانشه حائل نیز برای ایزولاسیون فعال و غیرفعال عملیات تراکم دینامیکی و جلوگیری از آسیب به سازه‌های مجاور مورد ارزیابی قرار می‌گیرد.

سرعت در جهت عمودی ثبت می‌شود در حالی که در مدل صحرایی که در آن رفتار واقعی خاک به عنوان مصالحی غیرایزوتروپ لحاظ می‌گردد، بیشینه سرعت مثبت در جهت عمودی و بیشینه سرعت منفی در جهت ساعی ثبت شده است.

شکل ۶ تغییرات بیشینه سرعت ذرات خاک^۱ (PGV) نسبت به فاصله از نقطه کوبش را براساس مقادیر اندازه‌گیری شده در سایت و مدل‌سازی عددی در سه جهت عمودی، ساعی و مماسی برای ۸ ضربه کوبش در نقاط متفاوت نشان می‌دهد. مطابق شکل ۶-۳ تغییرات سرعت در راستای عمودی در سایت در محدوده $0/1$ تا 10 متر بر ثانیه اندازه‌گیری شده است. در مدل‌سازی عددی در ضربات نزدیک به محل ثبت سرعت، تغییرات PGV با فاصله با شبیه مشابه سایت کاهش می‌یابد اما با دور شدن نقاط ضربه، شبیه خط بازش داده شده به نتایج مدل‌سازی عددی بیشتر می‌شود. این در حالی است که در خصوص داده‌های اندازه‌گیری شده در سایت، شبیه تمامی خطوط تقریباً یکسان است. در راستای ساعی تغییرات سرعت در محدوده $1/0$ تا 10 متر بر ثانیه است اما مطابق شکل ۶-۳ مدل‌سازی عددی، کمینه مقدار PGV در حدود $1/0$ متر بر ثانیه است. این موضوع نشان می‌دهد که در کران بالای سرعت، مدل‌سازی عددی به خوبی عمل می‌کند در حالی که در کران پایین سرعت، مدل عددی سرعت را کمتر از مقدار واقعی نشان می‌دهد. در نهایت مطابق شکل ۶-۳ کاهش PGV در راستای مماسی با افزایش فاصله مشابه کوبش واقعی، نامنظمی در نرخ کوبش در هر ضربه را نشان می‌دهد. تفاوت بین نتایج سایت و مدل‌سازی عددی برای مولفه مماسی سرعت در این است که روند تغییرات آن در کوبش واقعی با شبیه کمتری نسبت به مدل‌سازی عددی رخ می‌دهد.

^۱Peak ground velocity



شکل ۶- کاهش PGV نسبت به فاصله در کوبش واقعی (هوانگ و تو [۱۰]) و مدل‌سازی عددی برای جهت عمودی (b) جهت شعاعی (c) جهت مماسی (a)

تحلیل عددی با مقادیر اندازه‌گیری شده در سایت مورد مقایسه قرار گرفته است. شکل ۷ هندسه آرایش‌های مختلف ترانشه‌های حائل را نشان می‌دهد. فواصل درنظر گرفته شده برای ترانشه‌ها از قرار زیر است:

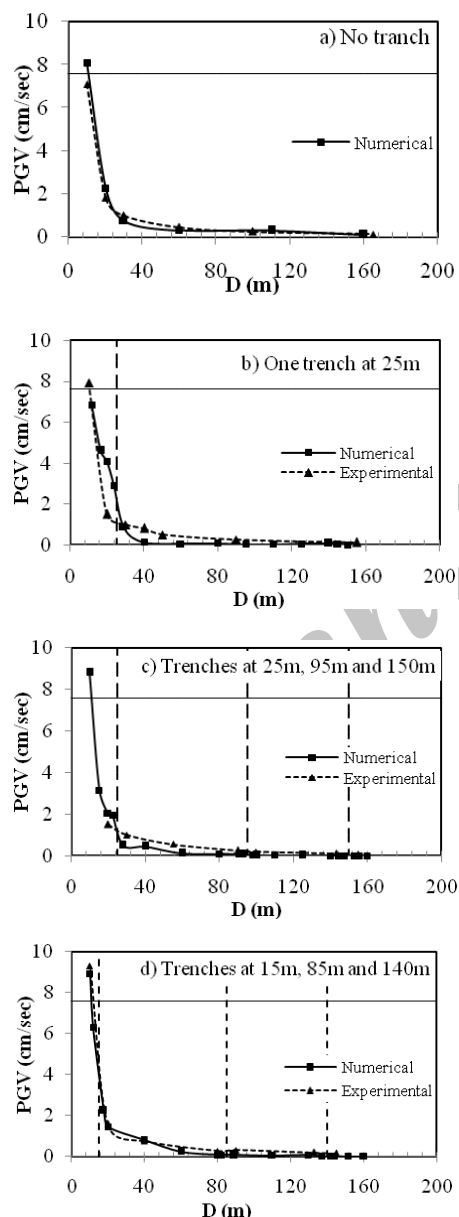
- ۱ یک ترانشه در فاصله ۲۵ متری از نقاط کوبش
- ۲ سه ترانشه در فواصل ۲۵، ۹۵ و ۱۵۰ متری از نقاط کوبش
- ۳ سه ترانشه در فواصل ۱۵، ۸۵ و ۱۴۰ متری از نقاط کوبش

تمامی این ترانشه‌ها به عمق ۳ متر و با عرض ۱ متر حفر شده‌اند. همچنین طول نزدیک‌ترین ترانشه به نقاط کوبش

۵- مدل‌سازی ترانشه حائل

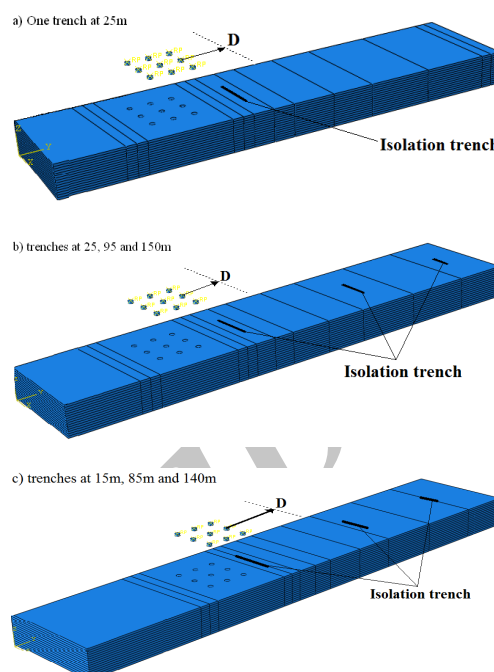
همان‌گونه که در قسمت پیش مطرح شد، در این سایت بهعلت تجاوز سرعت ذرات از حد مجاز آینین‌نامه نیاز انجام ایزولاسیون در محدوده عملیات تراکم دینامیکی می‌باشد. باتوجه به پیشنهاد وود [۲۴] و وود و همکاران [۲۵] درخصوص استفاده از ترانشه‌های حائل در ایزولاسیون پی ماشین‌آلات تحت اثر بارهای دینامیکی، هوانگ و تو [۱۰] نیز سه آرایش متفاوت از ترانشه‌های حائل را در سایت موردنظر قرار داده و تاثیر آن‌ها بر کاهش دامنه سرعت ذرات خاک را اندازه‌گیری نمودند. در مقاله حاضر نیز، سه آرایش مذکور در مدل عددی درنظر گرفته شده و نتایج

چشم‌گیری سرعت ذرات را کاهش نمی‌دهند. این موضوع در تطابق کامل با نتایج اندازه‌گیری‌های انجام شده توسط هوانگ و تو [۱۰] در سایت مذکور دارد. بنابراین حفاری ترانشه حائل برای ایزولاسیون عملیات تراکم دینامیکی در این سایت مناسب نیست و باید از سایر روش‌ها از جمله کم کردن انرژی کوبش با کاهش وزن و ارتفاع سقوط کوبه، افزایش فاصله سازه‌ها با محدوده عملیات تراکم دینامیکی و یا استفاده از سایر روش‌های بهسازی خاک استفاده نمود.



شکل ۸- کاهش میانگین سرعت حداکثر ذرات (PGV) با فاصله از مرکز کوبش داده‌های کوبش واقعی براساس هوانگ و تو [۱۰]

۲۰ متر، طول ترانشه میانی ۱۵ متر و طول دورترین ترانشه ۱۰ متر می‌باشد.



شکل ۷- هندسه آرایش‌های متفاوت ترانشهای حائل

در شکل ۸-۳ مقایسه‌ای بین روند کاهش میانگین سرعت حداکثر ذرات (PGV) نسبت به فاصله از مرکز کوبش در حالتی که در سایت هیچ‌گونه ترانشه‌ای وجود ندارد را نشان می‌دهد. تطابق قابل قبولی بین نتایج کوبش واقعی و مدل‌سازی عددی مشاهده می‌شود. در این شکل بیشینه سرعت مجاز آیین‌نامه نیز با یک خط مشخص شده است. شکل ۸-۴ مقایسه کاهش PGV با فاصله از مرکز کوبش در حالتی که یک ترانشه در فاصله ۲۵ متری حفاری شده است را نمایش می‌دهد. در این شکل محل ترانشه نیز با خط‌چین نمایش داده شده است. شکل ۸-۵ همان مقایسه را در حالتی که سه ترانشه در فواصل ۲۵، ۹۵ و ۱۵۰ متری از مرکز نقاط کوبش حفاری شده را نشان داده و شکل ۸-۶ نتایج را برای مدلی از حفاری ترانشه در فواصل ۱۵، ۸۵ و ۱۴۰ متری از مرکز نقاط کوبش ارائه می‌کند. با توجه به تمامی شکل‌ها، همپوشانی قابل قبول بین نتایج اندازه‌گیری شده در سایت برای کوبش واقعی و مدل‌سازی عددی مشاهده می‌گردد. اما هیچکدام از ترانشهای به‌طور

- راستای شعاعی است و سرعت در این دو راستا به مراتب بیشتر از سرعت در راستای مماسی می‌باشد.
- ۳ در سایت مورد مطالعه، به‌علت آن‌که سرعت بیشینه از حد مجاز بیشتر شده است می‌توان از سیستم حفاری ترانشه حائل بهره گرفت اما در سایت موردنظر، ترانشه‌های حفر شده در روند کاهش سرعت تغییر چشم‌گیری نداشته‌اند. لذا برای کم کردن دامنه سرعت ذرات باید از روش‌هایی مانند کاهش وزن و ارتفاع سقوط کوبه و یا دیگر روش‌های بهسازی خاک استفاده نمود.
- ۴ با توجه به تطابق قابل قبول سرعت بیشینه محاسبه شده از تحلیل عددی و نتایج ابزارگذاری صحرابی، برای یافتن فاصله ایمن به عنوان مرز مجاز عملیات تراکم می‌توان از مدل‌سازی عددی بهره گرفت.

۶- نتیجه گیری

در این تحقیق، مدل‌سازی عددی عملیات تراکم دینامیکی بر روی خاک ماسه‌ای خشک انجام گرفته و تغییرات سرعت حداکثر ذرات در مدل‌سازی عددی با مقادیر واقعی اندازه‌گیری شده در حالات بدون وجود ترانشه و یا با استفاده از آرایش‌های متفاوت ترانشه‌های حائل مقایسه شده و نتایج زیر حاصل گردیده است.

- ۱ به‌علت گام زمانی زیاد بین دو ضربه متوالی در تراکم دینامیکی، سرعت ذرات در نقاط متفاوت خاک در هر ضربه مستقل از ضربات پیش است و با توجه به فرض رفتار ایزوتروپ برای خاک، بیشترین سرعت ذرات در نزدیکترین نقطه کوبش از نظر مکانی ثبت می‌شود.
- ۲ سرعت ذرات خاک در راستای عمودی بیشتر از

مراجع

- [1] Ghassemi, A., Pak, A., Shahir, H. (2010). "Numerical study of the coupled hydro-mechanical effects in dynamic compaction of saturated granular soils". *Computers and Geotechnics*, Vol. 37, pp. 10–24.
- [2] Jahangiri, Gh., Pak, A., Ghassemi, A. (2010). "A novel numerical method for determination of print spacing in dynamic compaction operation of dry sand". *Proceedings of the 4th International Conference on Geotechnical Engineering and Soil Mechanics*, Tehran, Paper No. 274.
- [3] Jia, M., Zhou, J. (2010). "Investigation of mechanical response induced in dynamic compaction of sandy soils with PFC2D". *Proceedings of the GeoShanghai 2010 International Conference*, pp. 261-268.
- [4] Pan, J.L., Selby, A.R. (2002). "Simulation of dynamic compaction of loose granular soils". *Advances in Engineering Software*, Vol. 33, pp. 631–640.
- [5] Li, W., Gu, Q., Su, L., Yang, B. (2011). "Finite element analysis of dynamic compaction in soft foundation". *Procedia Engineering*, Vol. 12, pp. 224–228.
- [6] Minaev, O.P. (2002). "Effective method for dynamic compaction of slightly cohesive-saturated soils". *Soil Mechanics and Foundation Engineering*, Vol. 39, No. 6, pp. 208-213.
- [7] Arslan, H., Baykal, G., Ertas, O. (2007). "Influence of tamper weight shape on dynamic compaction". *Ground Improvement*, Vol. 11, No. 2, pp. 61–66.
- [8] Feng, S.J., Shui, W.H., Gao, W.H., He, L.J., Tan, K. (2010). "Field evaluation of dynamic compaction on granular deposits". *Performance of Constructed Facilities*, Vol. 25, No. 3, pp. 241-249.
- [9] Hua, L.J., Bo, Y.J., Hu, X., Wei, C. (2006). "Dynamic compaction treatment technology research of red clay soil embankment in southern mountains". *Journal of Central South University of Technology*, Vol. 15, pp. 050–057.
- [10] Hwang, J.H., Tu, T.Y. (2006). "Ground vibration due to dynamic compaction". *Soil Dynamics and Earthquake Engineering*, Vol. 26, pp. 337–346.
- [11] Kopf, F., Paulmich, I., Adam, D. (2010). "Modelling and simulation of heavy tamping dynamic response of the ground". *From Research to Design in European Practice*, Bratislava, Slovak Republic.

- [12] Mayne, P.W., Jones, J.S. (1983). "Impact stresses during dynamic compaction". Geotechnical Engineering, Vol. 109, No. 10, pp. 1342-1346.
- [13] Mayne, P.W., Jones, J.S., Dumas, J.C. (1984). "Ground response to dynamic compaction". Geotechnical Engineering, Vol. 110, No. 6, pp. 757-774.
- [14] Rollins, K.M., Kim, J. (2010). "Dynamic compaction of collapsible soils based on U.S. case histories". Geotechnical and Geoenvironmental Engineering, Vol. 136, No. 9, pp.1178-1186.
- [15] Zou, W.L., Wang, Z., Yao, Z.F. (2005). "Effect of dynamic compaction on placement of high-road embankment". Performance of Constructed Facilities, Vol. 19, No. 4, pp. 316-323.
- [16] Jafarzadeh, F. (2006). "Dynamic compaction method in physical model test" ScientiaIranica, Vol. 13, No. 2, pp. 187-192.
- [17] Chow, Y.K., Yong, D.M., Yong, K.Y., Lee S.L. (1990). "Monitoring of dynamic compaction by deceleration measurements". Computers and Geotechnics, Vol. 10, No. 3, pp. 189-209.
- [18] Chow, Y.K., Yong, D.M., Yong, K.Y., Lee S.L. (1992). "Dynamic compaction analysis". Geotechnical Engineering, Vol. 118, No. 8, pp. 1141-1157.
- [19] Chow, Y.K., Yong, D.M., Yong, K.Y., Lee S.L. (1994). "Dynamic compaction of loose granular soils: effect of print spacing". Geotechnical Engineering, Vol. 120, No. 7, pp. 1115-1133.
- [20] Roessel, J.M., Kausel, E., Cuellar, V., Monte, J.L., Valerio, J. (1994). "Impact of weight falling onto the ground". Geotechnical Engineering, Vol. 120, No. 8, pp. 1394-1412.
- [21] Siskind, D.E., Stagg, M.S., Kopp, J.W., Dowding, C.H. (1980). "Structural response and damage produced by ground vibration from surface blasting". Report of Investigations 8507, U.S. Bureau of Mines, Washington, D.C.
- [22] Slocombe, B.C. (1993). "Dynamic compaction". Chapter 2 of Ground Improvement, CRC Press Inc., Boca Raton, FL., pp. 21-39.
- [23] Lukas, R.G. (1995). "Geotechnical engineering circular No. 1- Dynamic compaction". FHWA-SA-95-037.
- [24] Woods, R.D. (1968). "Screening of surface waves in soils". Journal of the Soil Mechanics and Foundations Division, ASCE, Vol. 94, No. SM4, pp. 951-979.
- [25] Woods, R.D., Barnett, N.E., Sagesser, R. (1974). "Holography- A new tool for soil dynamics". Journal of the Geotechnical Engineering Division, ASCE, Vol. 100, No. GT11, pp. 1231-1247.
- [26] Pourjenabi, M. (2013). "Numerical modeling of dynamic compaction in dry sands considering minimum distance from adjacent structures". M.Sc. Thesis, Kharazmi University, Tehran, Iran.